

FÉVRIER 2024



Survie des personnes atteintes de cancer à La Réunion 2008-2018

Étude collaborative partenariale entre le réseau français des registres des cancers (Francim), le service de Biostatistique-Bioinformatique des Hospices civils de Lyon (HCL), Santé publique France et l'Institut national du cancer (INCa)

Graphiques d'adéquation

Graphiques adéquation - Survie à 1 et 5 ans des personnes diagnostiquées entre 2008 et 2015

Figure A1a. Survie nette (SN) prédite par le modèle et estimée par Pohar-Perme : SN à 1 et 5 ans selon l'âge et SN selon le temps depuis le diagnostic tous âges et par classe d'âges, Hommes et Femmes ensemble

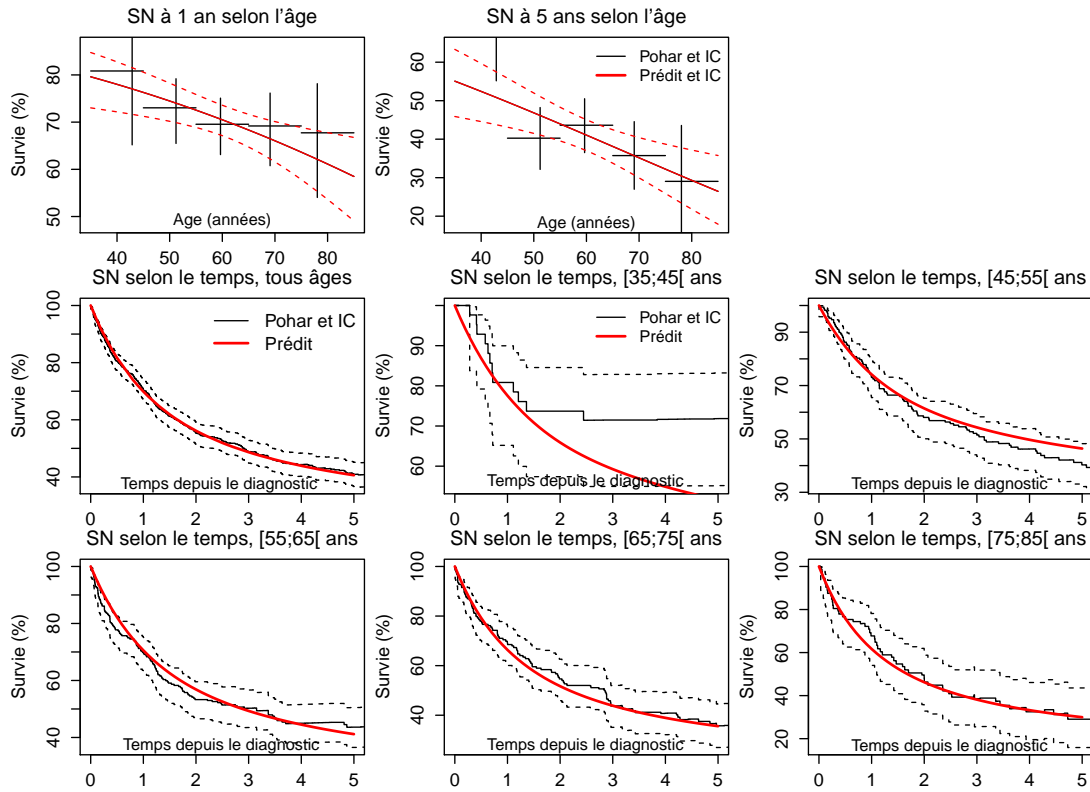
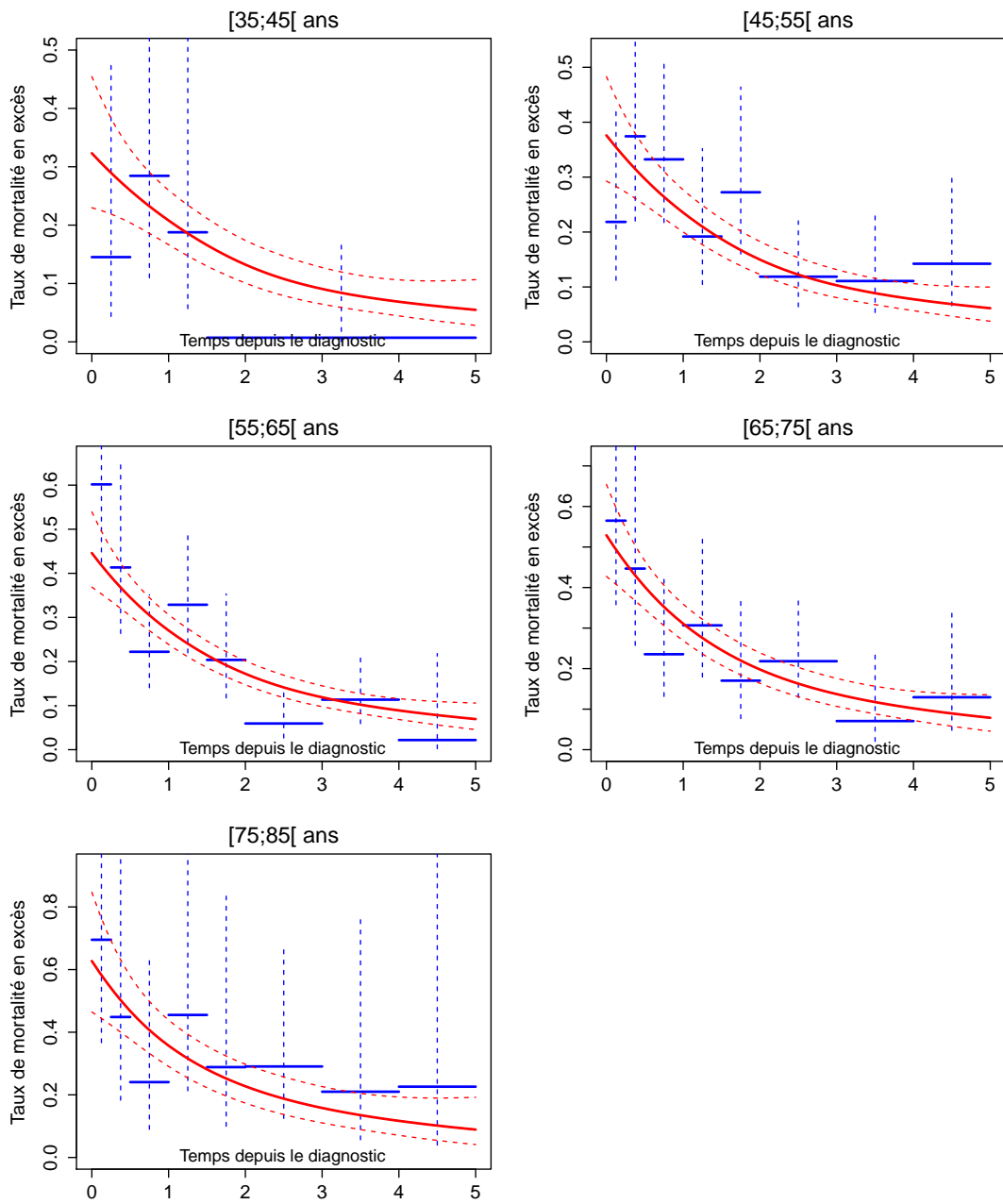


Figure A1b. Taux de mortalité en excès (en nombre de décès par personne-année) selon le temps depuis le diagnostic par classes d'âges : comparaison des taux prédits par le modèle (rouge) aux taux prédits par un modèle de taux constants par intervalle (bleu), Hommes et Femmes ensemble



Graphiques adéquation - Survie à 1 et 5 ans des personnes diagnostiquées entre 2008 et 2015

Figure A1a. Survie nette (SN) prédite par le modèle et estimée par Pohar-Perme : SN à 1 et 5 ans selon l'âge et SN selon le temps depuis le diagnostic tous âges et par classe d'âges, Hommes et Femmes ensemble

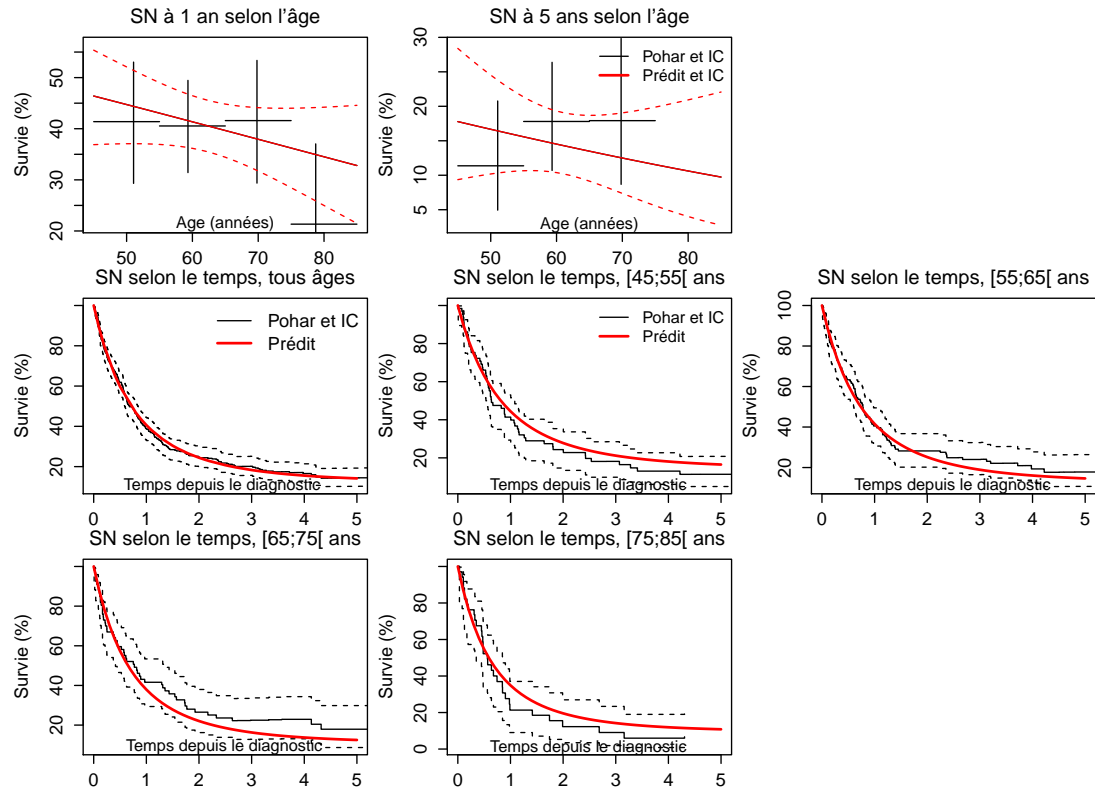
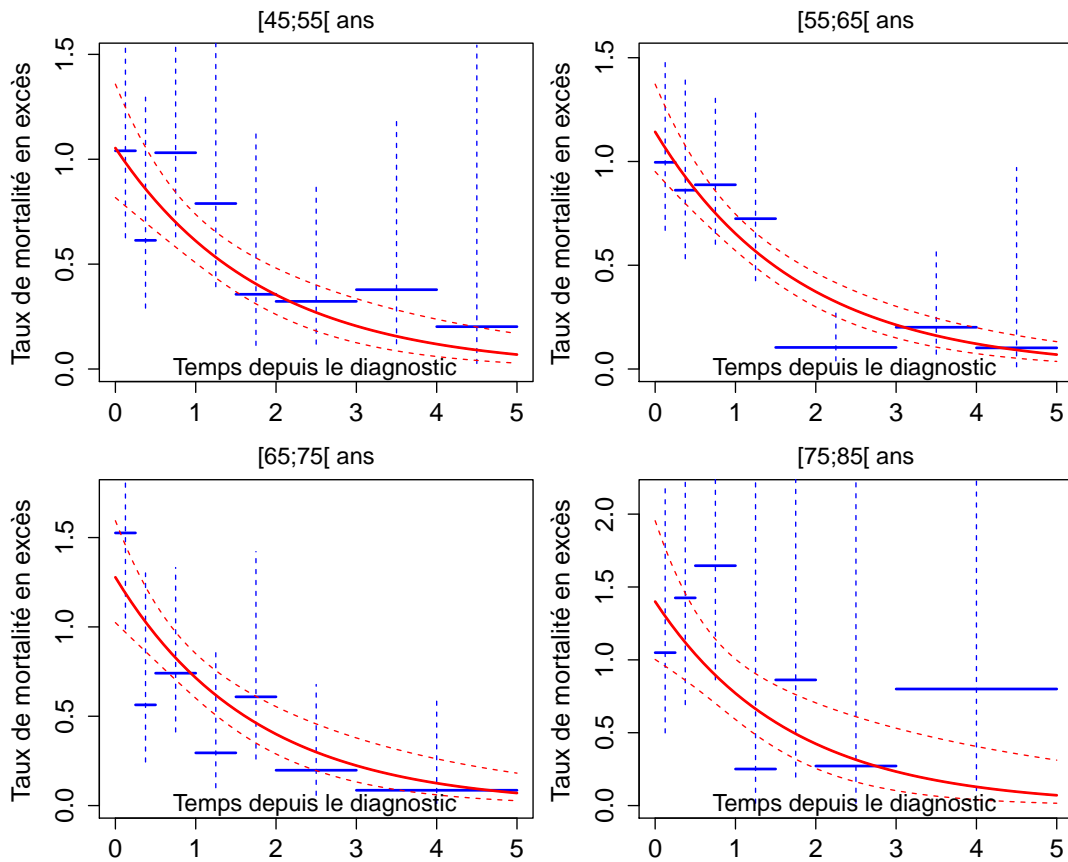


Figure A1b. Taux de mortalité en excès (en nombre de décès par personne-année) selon le temps depuis le diagnostic par classes d'âges : comparaison des taux prédits par le modèle (rouge) aux taux prédits par un modèle de taux constants par intervalle (bleu), Hommes et Femmes ensemble



Graphiques adéquation - Survie à 1 et 5 ans des personnes diagnostiquées entre 2008 et 2015

Figure A1a. Survie nette (SN) prédite par le modèle et estimée par Pohar-Perme : SN à 1 et 5 ans selon l'âge et SN selon le temps depuis le diagnostic tous âges et par classe d'âges, Hommes et Femmes ensemble

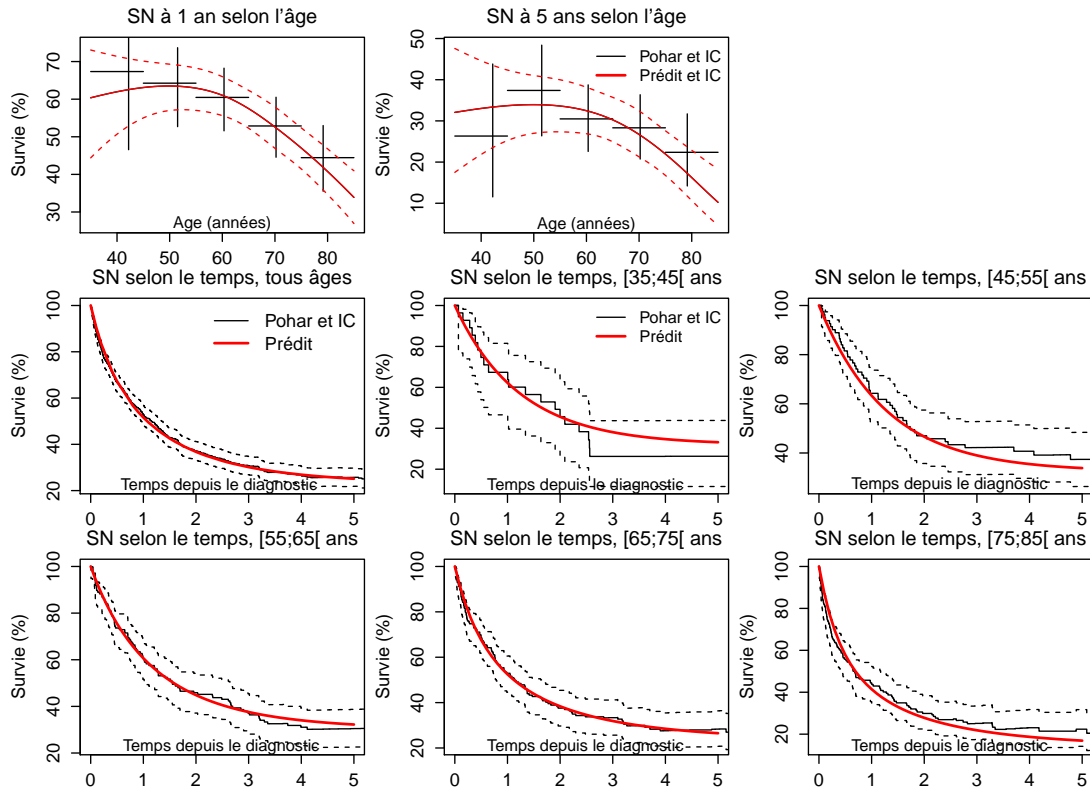
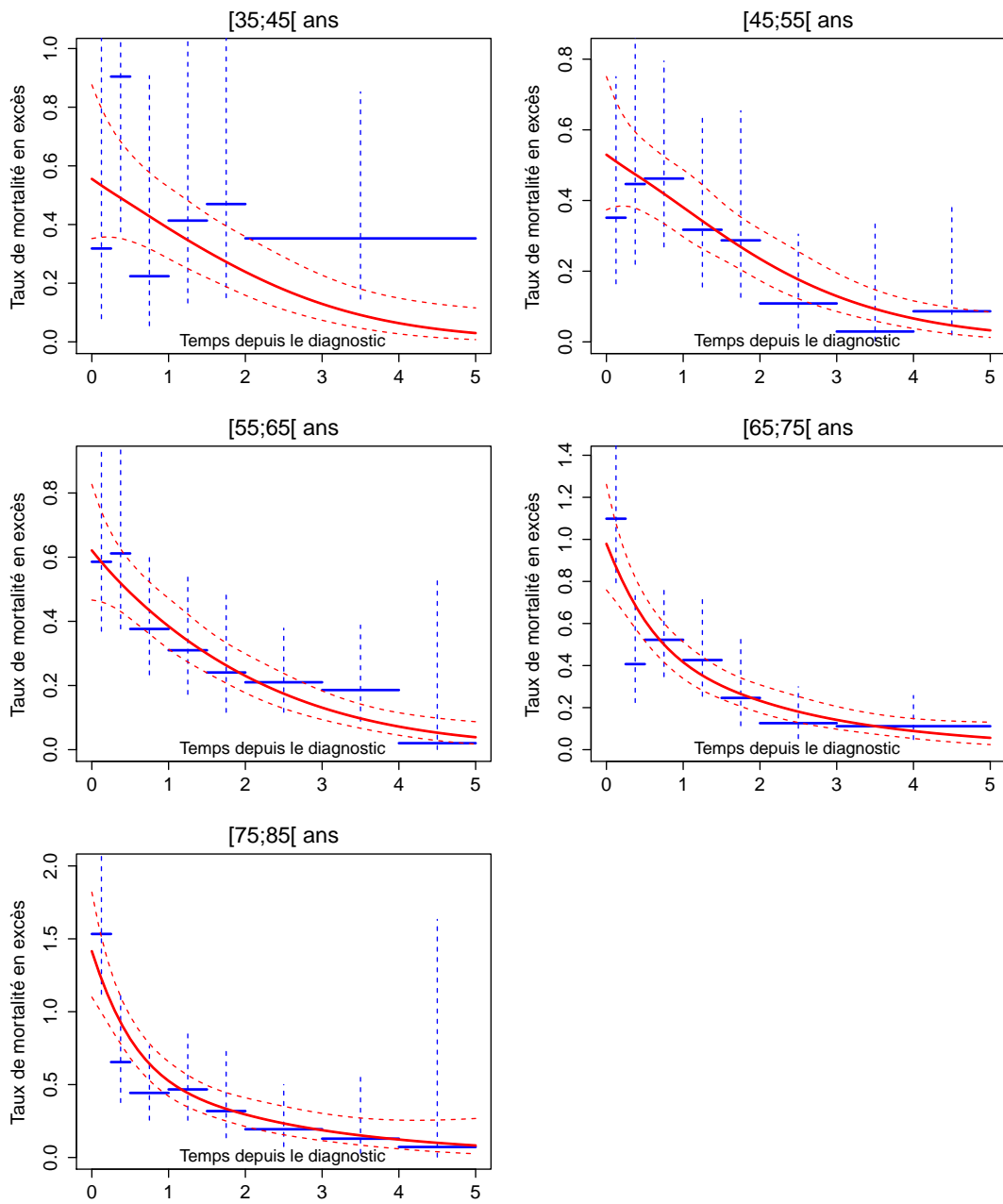


Figure A1b. Taux de mortalité en excès (en nombre de décès par personne-année) selon le temps depuis le diagnostic par classes d'âges : comparaison des taux prédits par le modèle (rouge) aux taux prédits par un modèle de taux constants par intervalle (bleu), Hommes et Femmes ensemble



Graphiques adéquation - Survie à 1 et 5 ans des personnes diagnostiquées entre 2008 et 2015

Figure A1a. Survie nette (SN) prédite par le modèle et estimée par Pohar-Perme : SN à 1 et 5 ans selon l'âge et SN selon le temps depuis le diagnostic tous âges et par classe d'âges, Hommes et Femmes ensemble

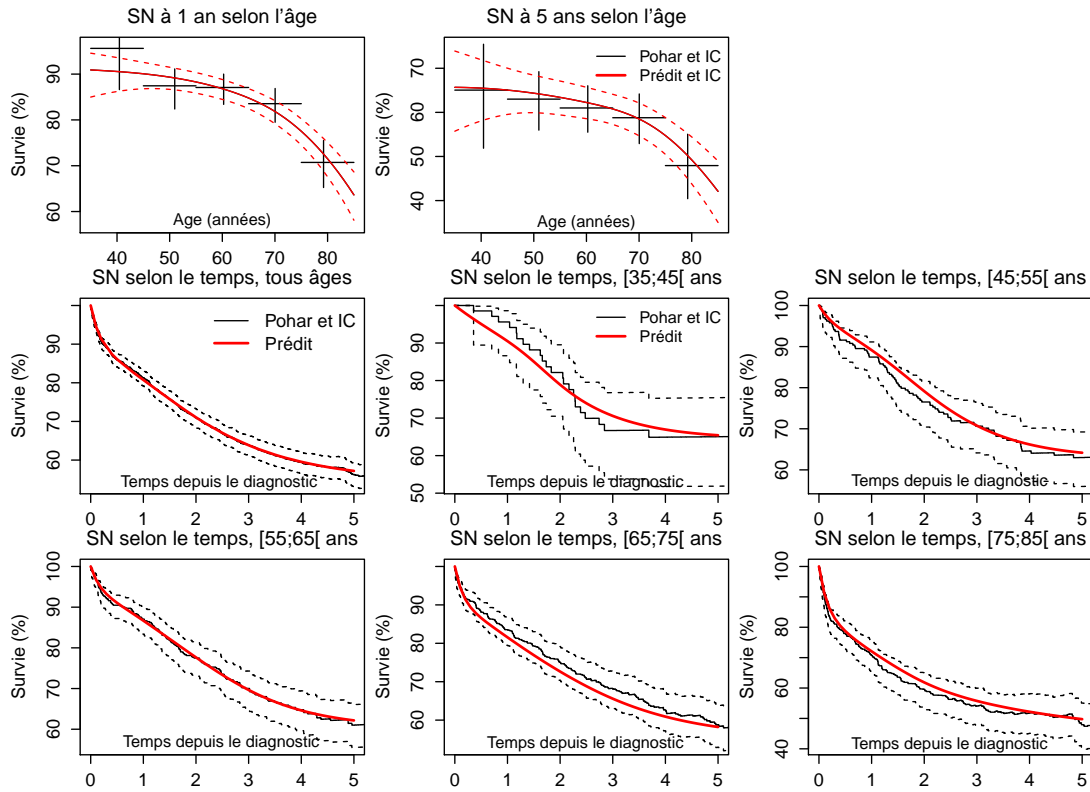
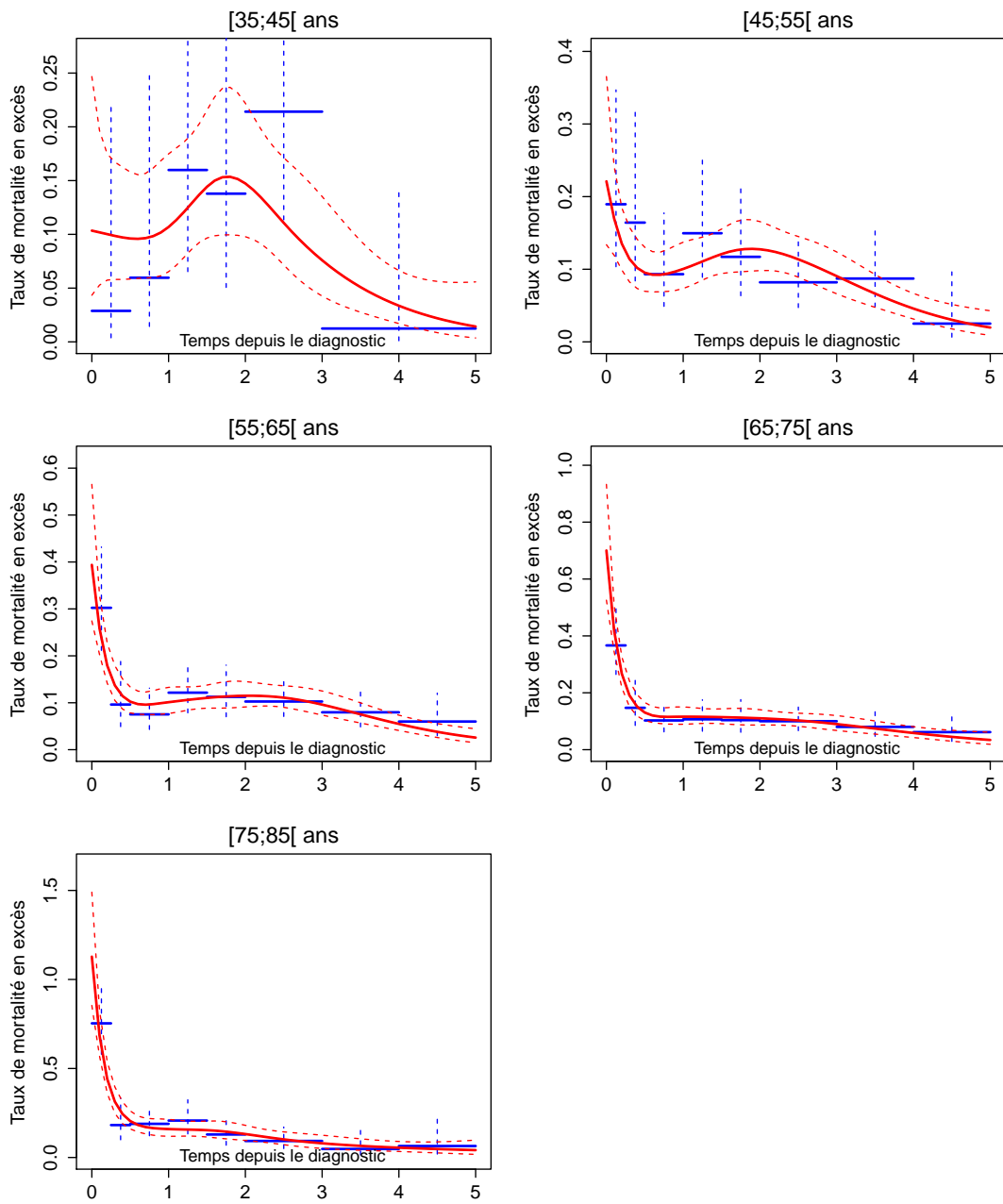


Figure A1b. Taux de mortalité en excès (en nombre de décès par personne-année) selon le temps depuis le diagnostic par classes d'âges : comparaison des taux prédits par le modèle (rouge) aux taux prédits par un modèle de taux constants par intervalle (bleu), Hommes et Femmes ensemble



Graphiques adéquation - Survie à 1 et 5 ans des personnes diagnostiquées entre 2008 et 2015

Figure A1a. Survie nette (SN) prédite par le modèle et estimée par Pohar-Perme : SN à 1 et 5 ans selon l'âge et SN selon le temps depuis le diagnostic tous âges et par classe d'âges, Hommes et Femmes ensemble

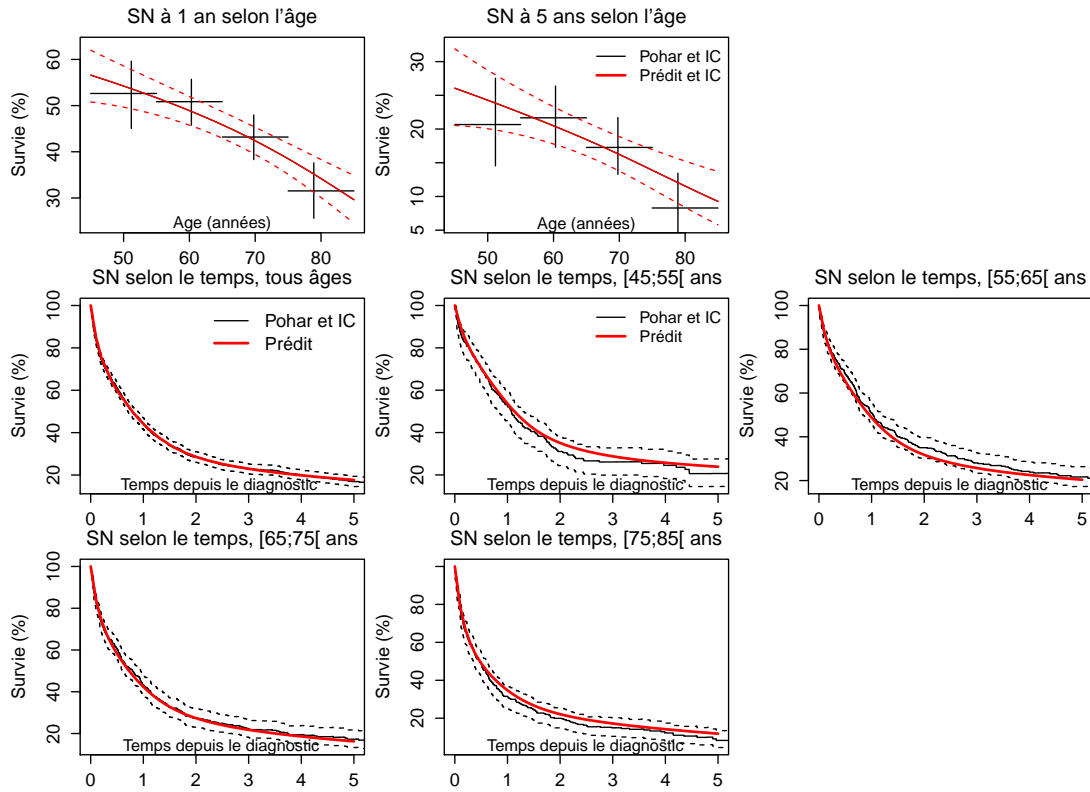
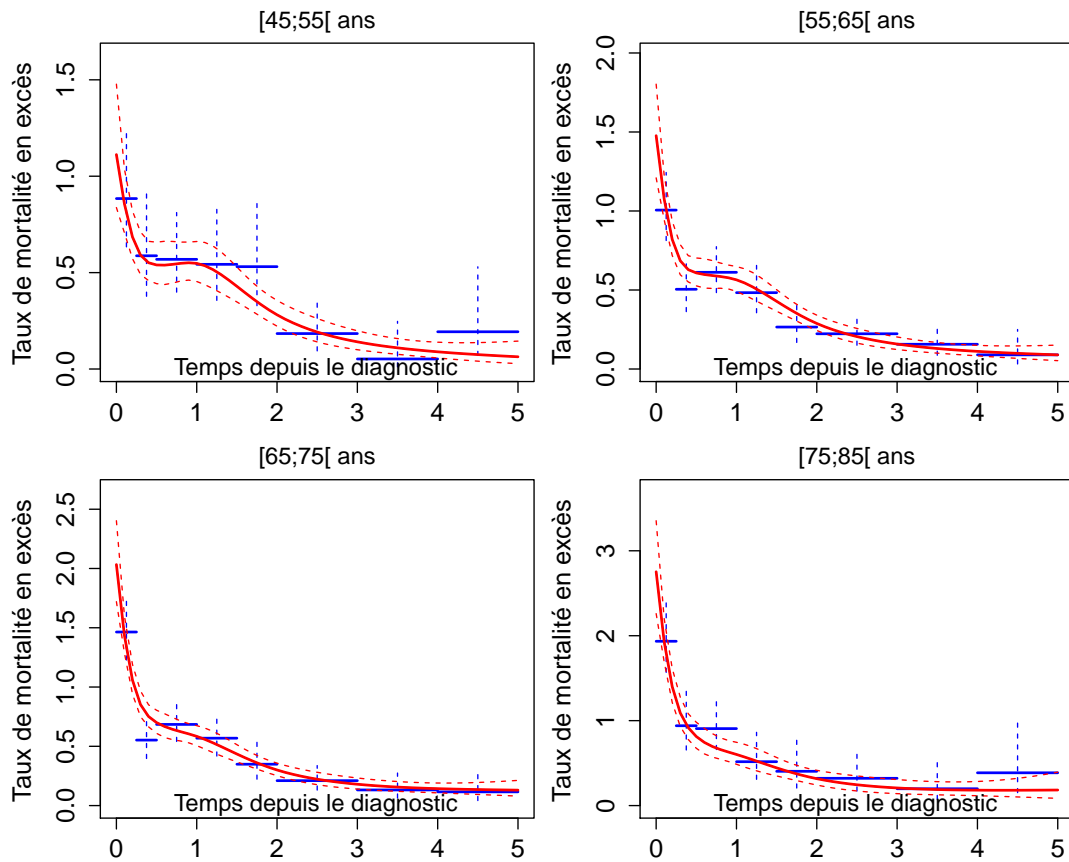


Figure A1b. Taux de mortalité en excès (en nombre de décès par personne-année) selon le temps depuis le diagnostic par classes d'âges : comparaison des taux prédits par le modèle (rouge) aux taux prédits par un modèle de taux constants par intervalle (bleu), Hommes et Femmes ensemble



Graphiques adéquation - Survie à 1 et 5 ans des personnes diagnostiquées entre 2008 et 2015

Figure A1a. Survie nette (SN) prédite par le modèle et estimée par Pohar-Perme : SN à 1 et 5 ans selon l'âge et SN selon le temps depuis le diagnostic tous âges et par classe d'âges

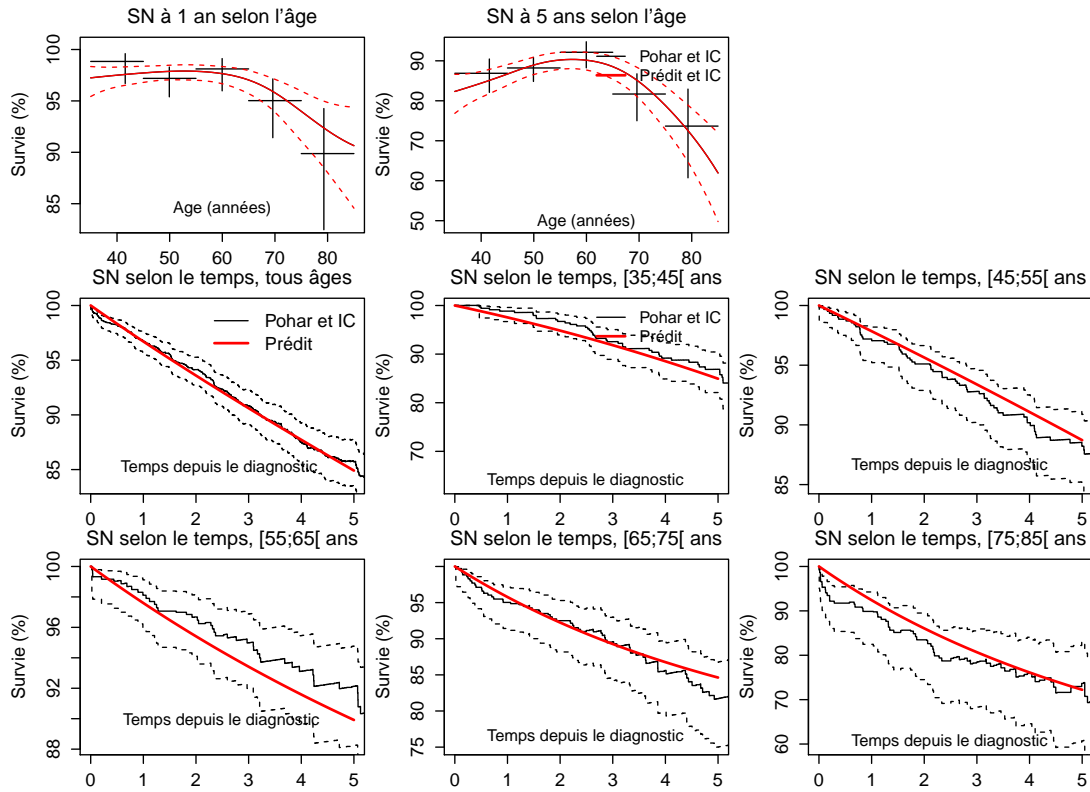
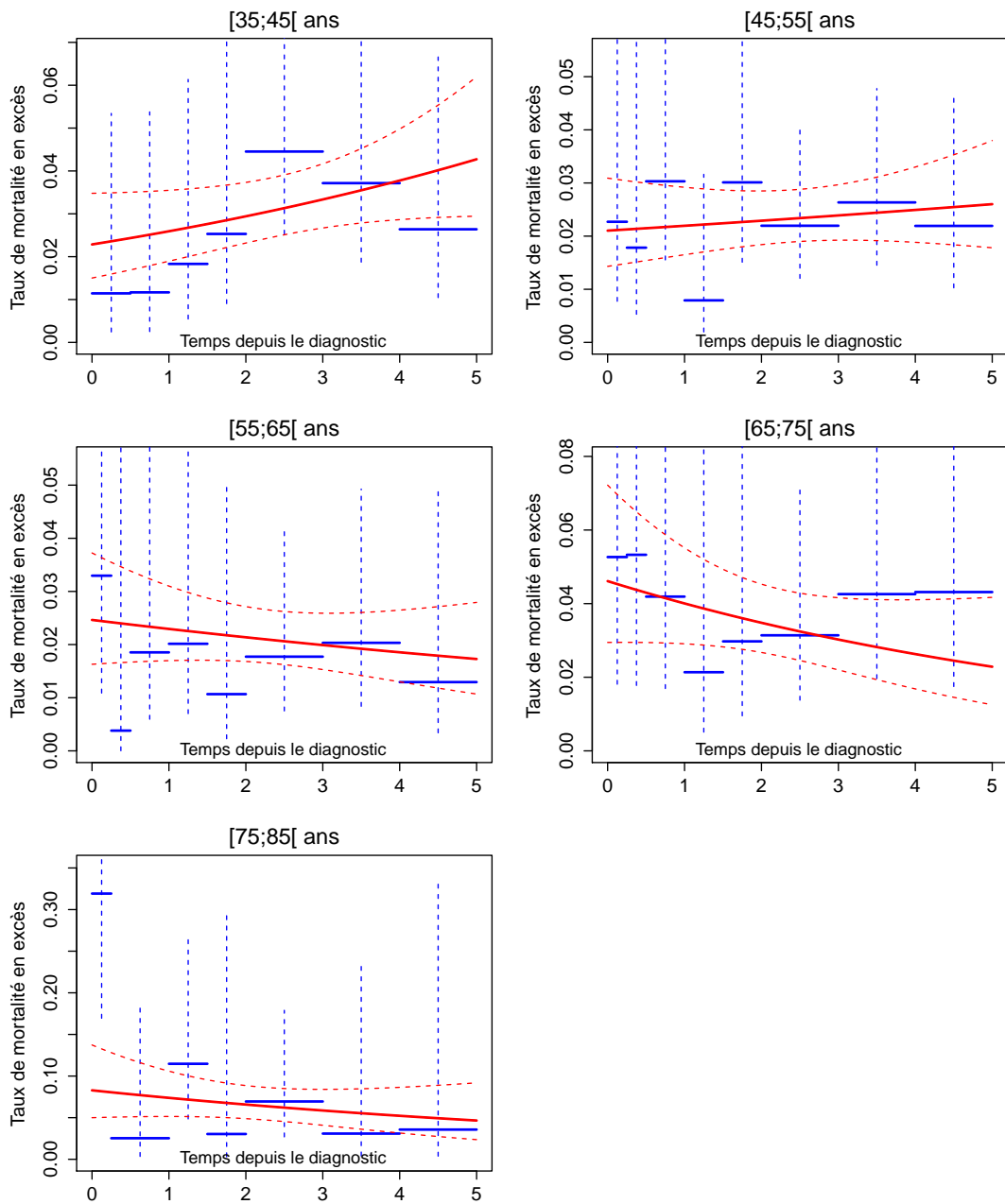


Figure A1b. Taux de mortalité en excès (en nombre de décès par personne-année) selon le temps depuis le diagnostic par classes d'âges : comparaison des taux prédits par le modèle (rouge) aux taux prédits par un modèle de taux constants par intervalle (bleu)



Graphiques adéquation - Survie à 1 et 5 ans des personnes diagnostiquées entre 2008 et 2015

Figure A1a. Survie nette (SN) prédite par le modèle et estimée par Pohar-Perme : SN à 1 et 5 ans selon l'âge et SN selon le temps depuis le diagnostic tous âges et par classe d'âges

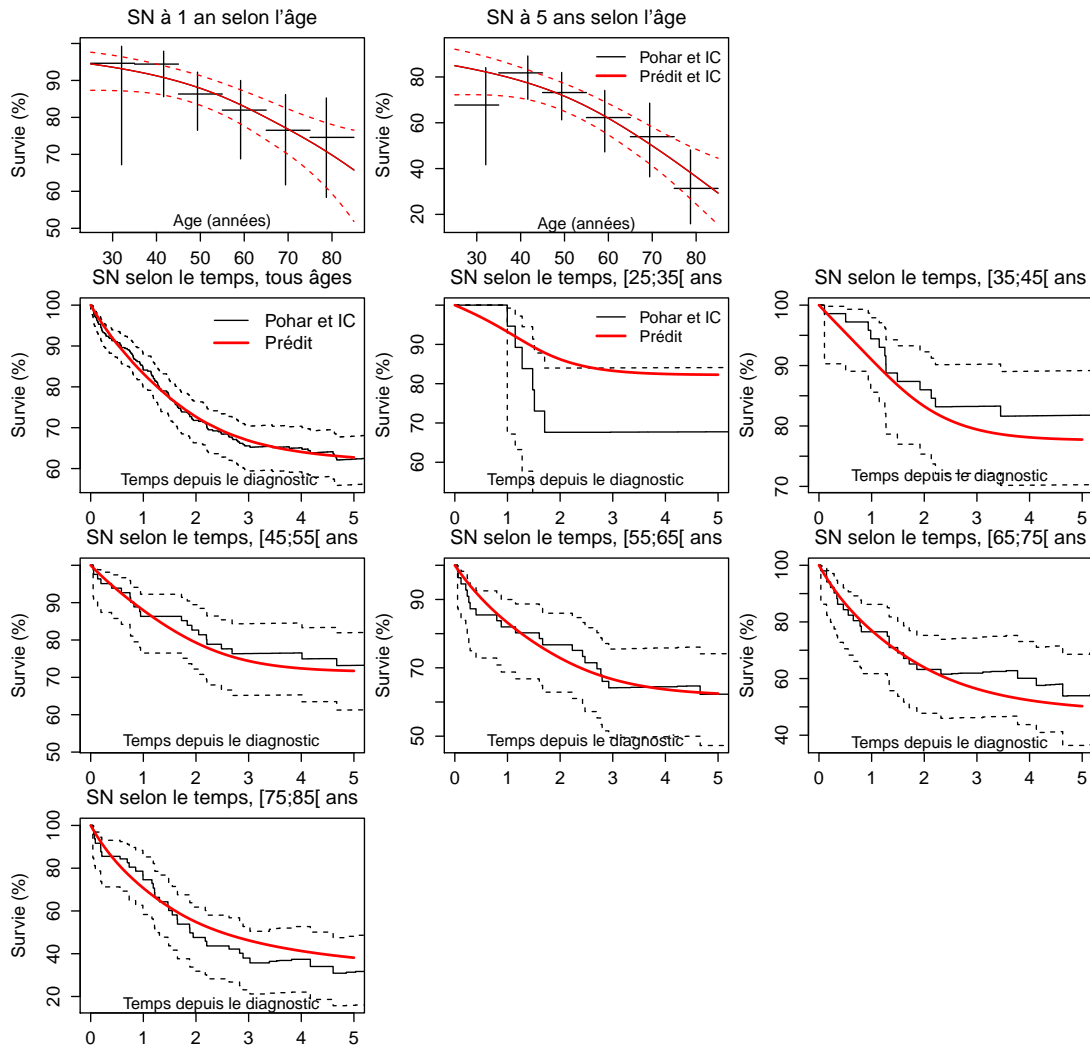
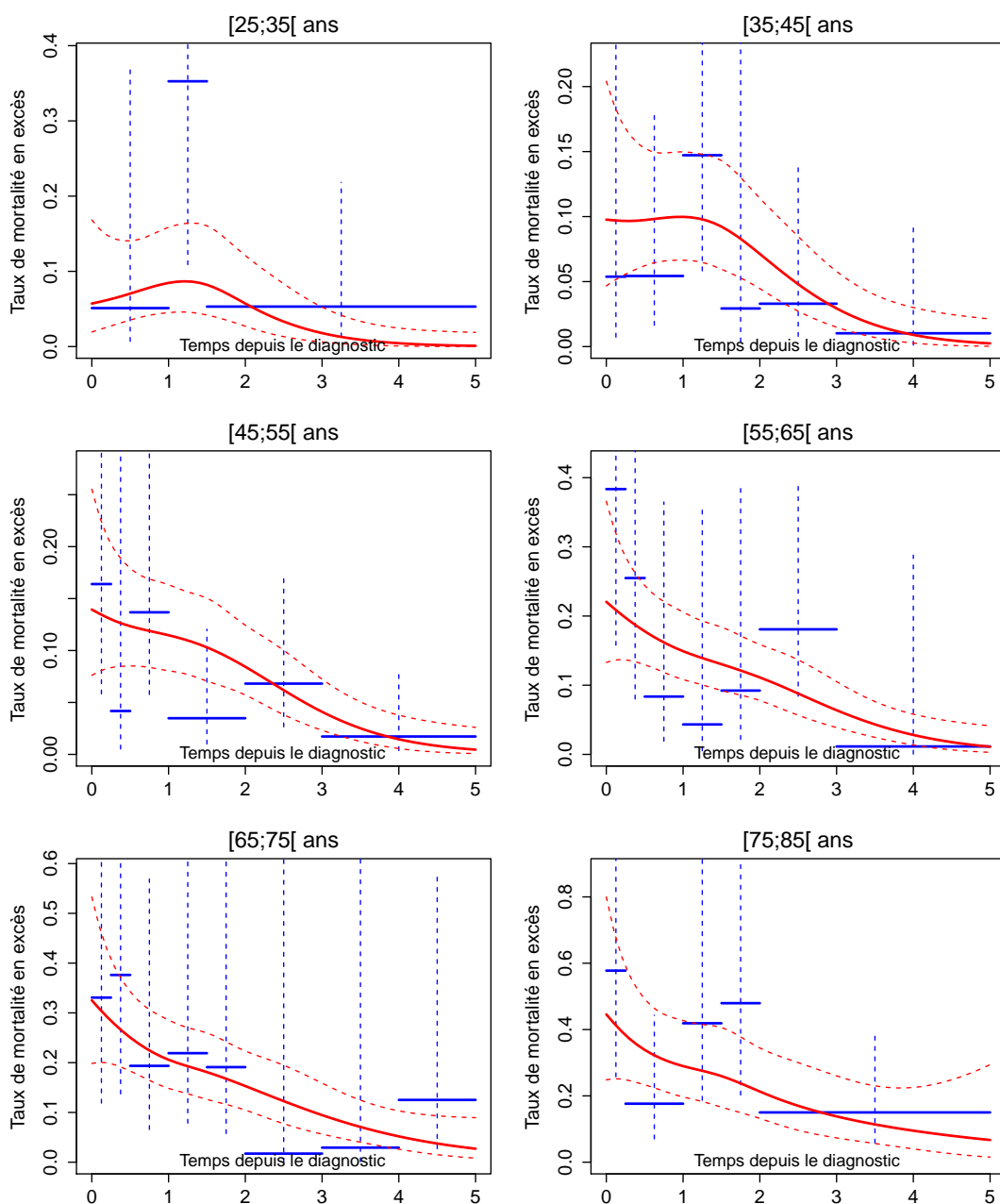


Figure A1b. Taux de mortalité en excès (en nombre de décès par personne-année) selon le temps depuis le diagnostic par classes d'âges : comparaison des taux prédits par le modèle (rouge) aux taux prédits par un modèle de taux constants par intervalle (bleu)



Graphiques adéquation - Survie à 1 et 5 ans des personnes diagnostiquées entre 2008 et 2015

Figure A1a. Survie nette (SN) prédite par le modèle et estimée par Pohar-Perme : SN à 1 et 5 ans selon l'âge et SN selon le temps depuis le diagnostic tous âges et par classe d'âges

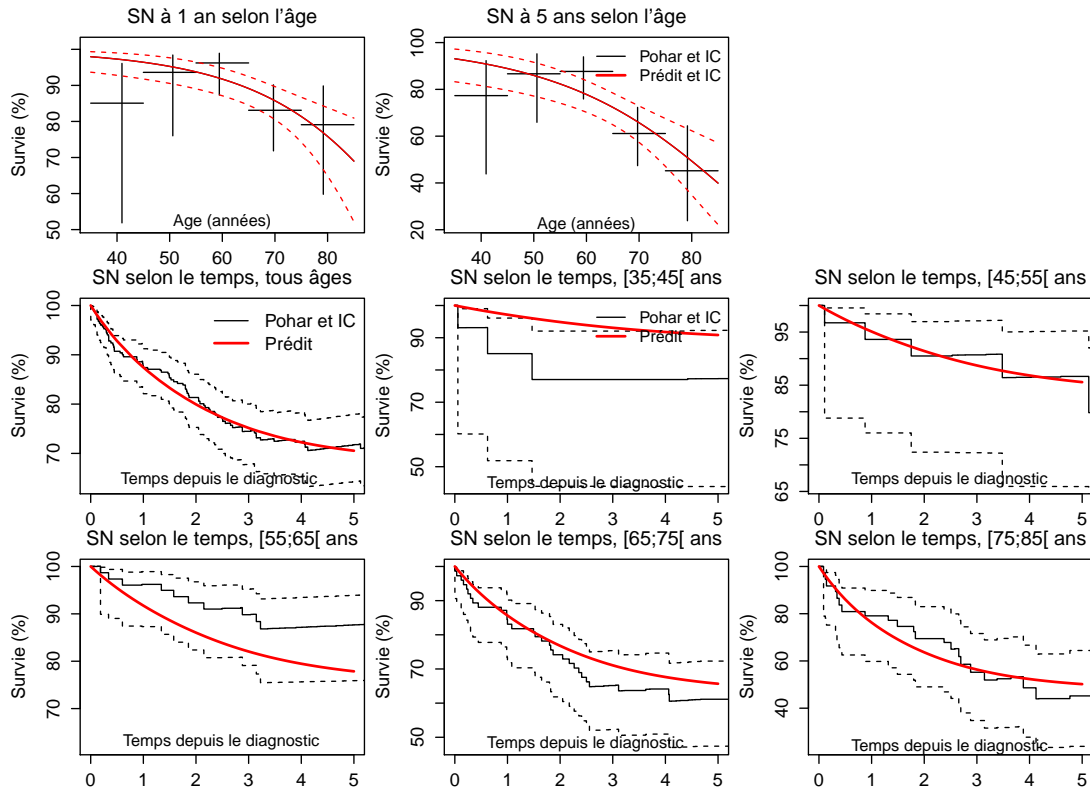
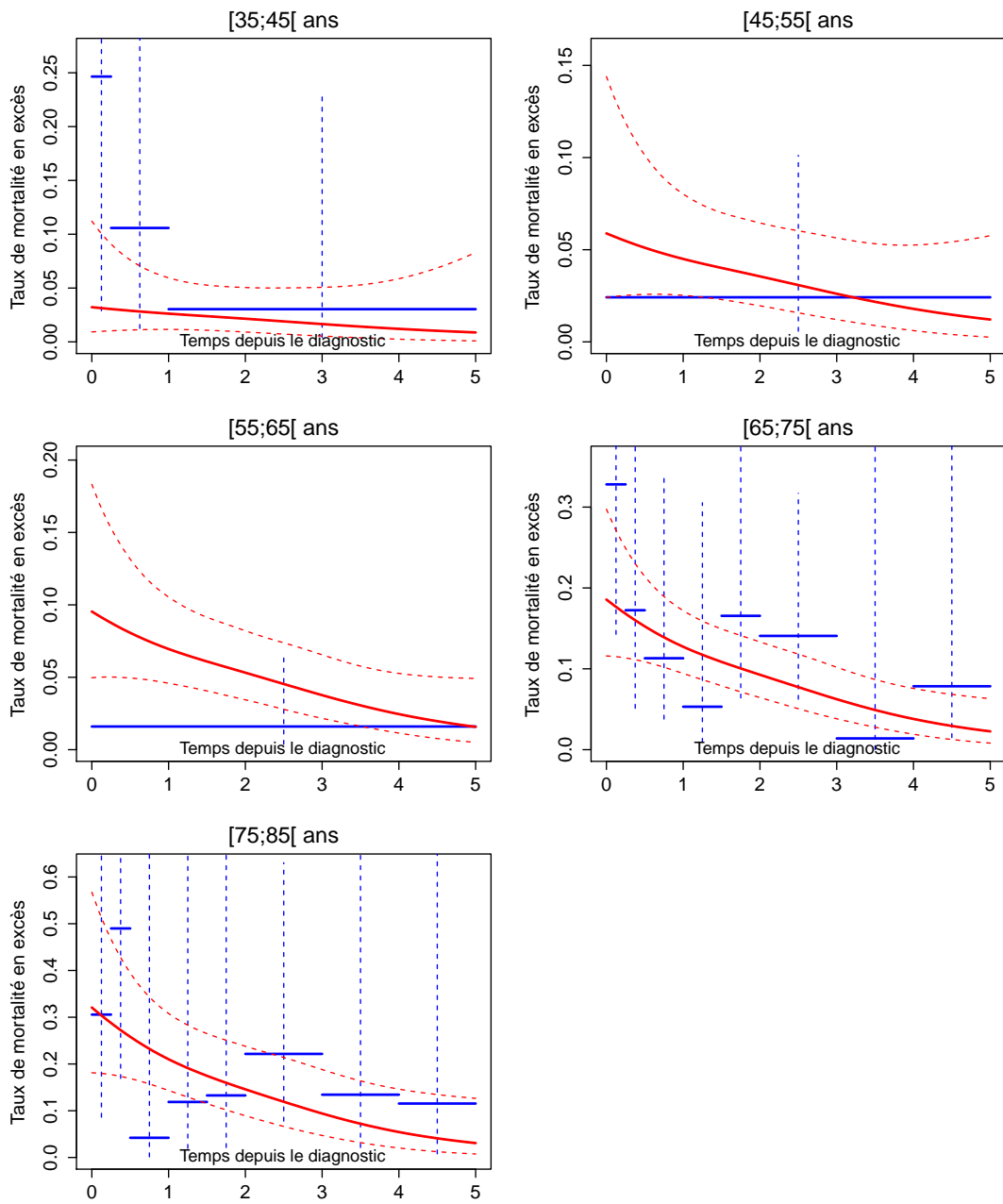


Figure A1b. Taux de mortalité en excès (en nombre de décès par personne-année) selon le temps depuis le diagnostic par classes d'âges : comparaison des taux prédits par le modèle (rouge) aux taux prédits par un modèle de taux constants par intervalle (bleu)



Graphiques adéquation - Survie à 1 et 5 ans des personnes diagnostiquées entre 2008 et 2015

Figure A1a. Survie nette (SN) prédite par le modèle et estimée par Pohar-Perme : SN à 1 et 5 ans selon l'âge et SN selon le temps depuis le diagnostic tous âges et par classe d'âges

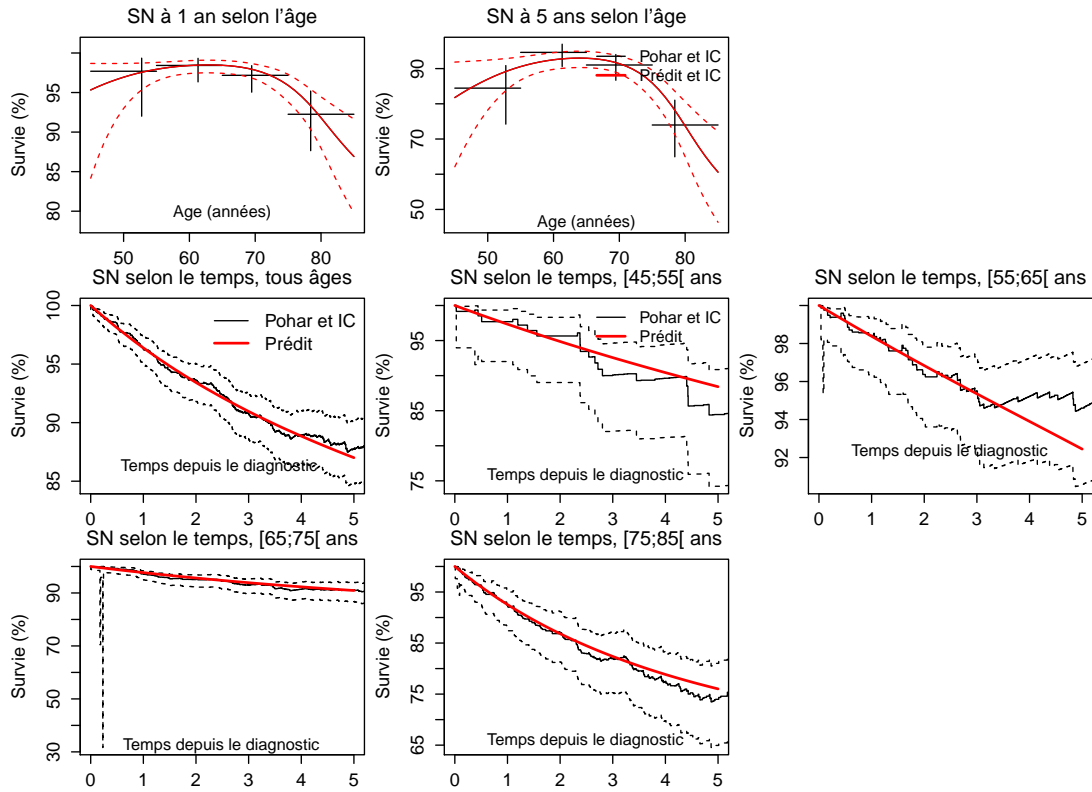
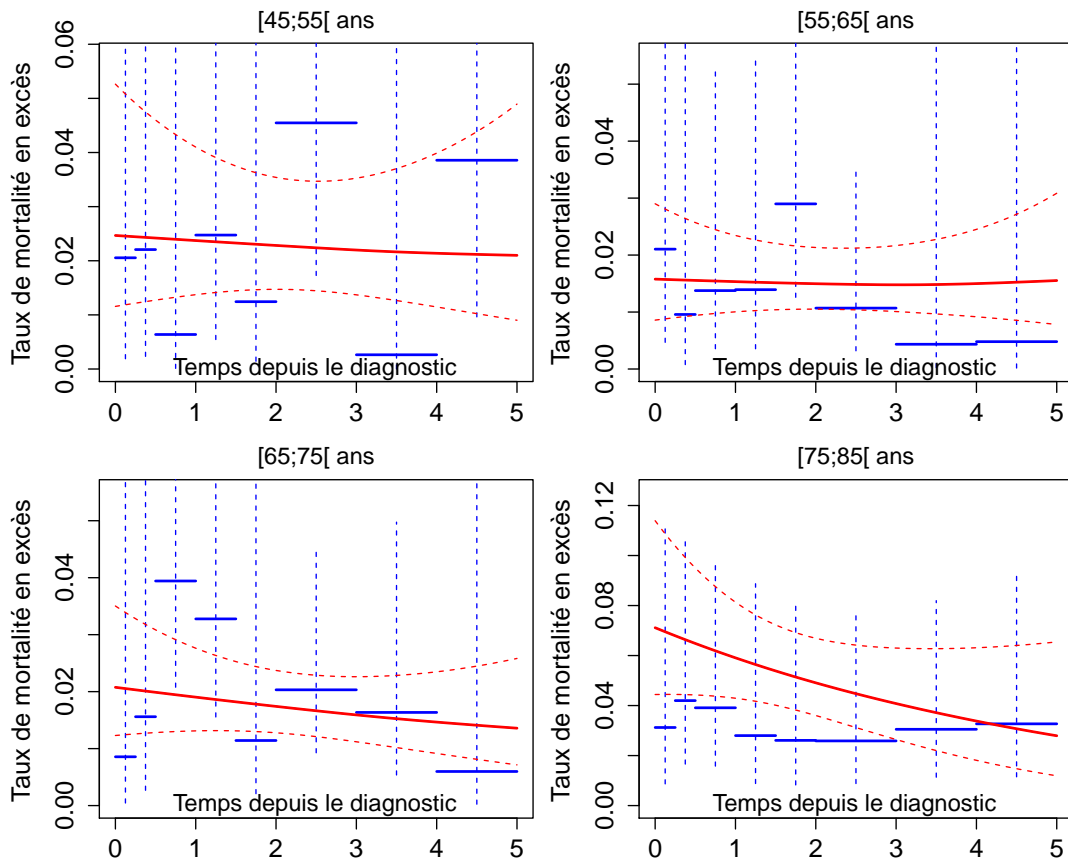


Figure A1b. Taux de mortalité en excès (en nombre de décès par personne-année) selon le temps depuis le diagnostic par classes d'âges : comparaison des taux prédits par le modèle (rouge) aux taux prédits par un modèle de taux constants par intervalle (bleu)



Graphiques adéquation - Survie à 1 et 5 ans des personnes diagnostiquées entre 2008 et 2015

Figure A1a. Survie nette (SN) prédite par le modèle et estimée par Pohar-Perme : SN à 1 et 5 ans selon l'âge et SN selon le temps depuis le diagnostic tous âges et par classe d'âges, Hommes et Femmes ensemble

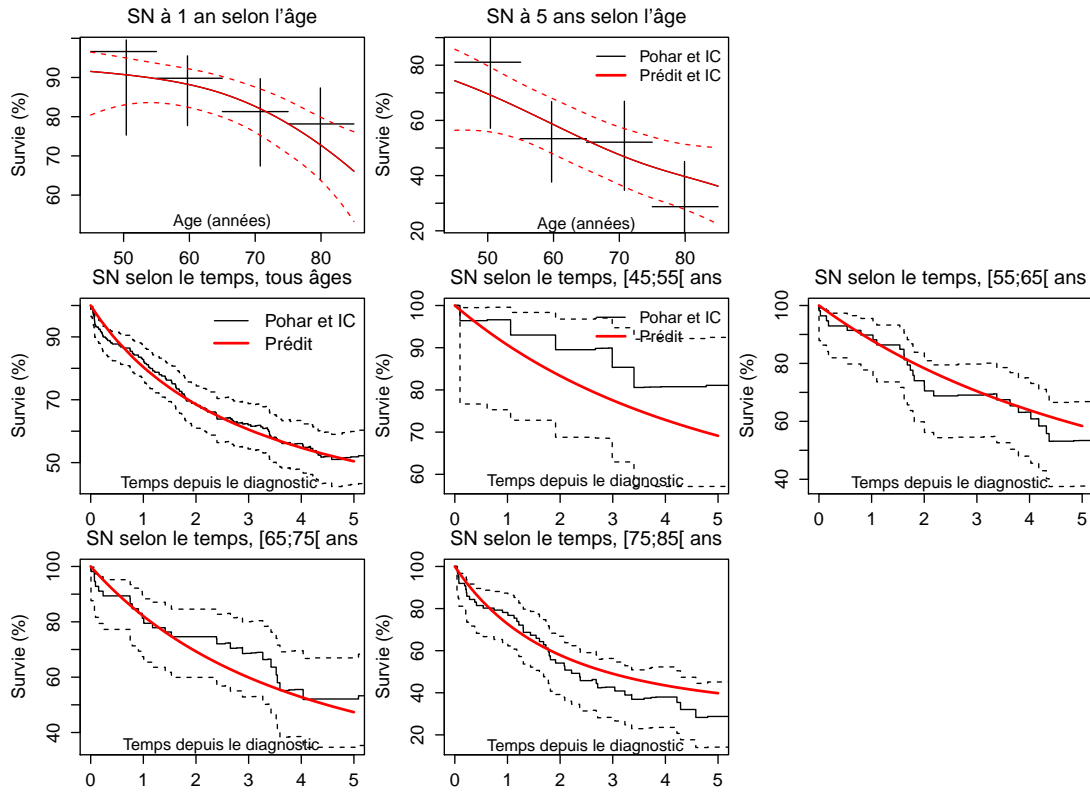


Figure A1b. Taux de mortalité en excès (en nombre de décès par personne-année) selon le temps depuis le diagnostic par classes d'âges : comparaison des taux prédits par le modèle (rouge) aux taux prédits par un modèle de taux constants par intervalle (bleu), Hommes et Femmes ensemble

